

結合三角函數 線路和 그 應用

(Coupled Trigonometric Transmission Line and its Application)

朴 松 培

(Park, Song Bai)

要 約

一般的인 結合不均一線路에 대한 理論을 適用하여 結合三角函數線路(CTTL)의 特性을 研究하였다. 우선 CTTL의 4-port 傳達메이트릭스 퍼라미터를 誘導한 다음 이것을 使用하여 CTTL을 利用한 全域通過回路와 方向性結合器를 解析하였다. 線路에 沿한 結合係數의 變化에 따라서 全域通過回路의 位相特性和 方向性結合器의 結合電壓의 크기의 變化를 상세하게 연구하였다. 最後로 CTTL를 사용한 廣帶域 90° 差動位相推移器와 高域通過 方向性結合器의 設計例를 들고 그 實現方法을 考察하였다.

Abstract

Characteristics of coupled trigonometric transmission lines (CTTL) are studied based on the theory of general coupled nonuniform transmission lines. First, the 4-port transmission matrix parameters of CTTL are derived for the even-and odd-mode waves and then they are used in the analysis of all-pass networks and directional couplers using CTTL. The phase shift characteristic of the all-pass networks and the magnitude characteristic of the directional couplers are studied in detail for various coupling factor variations along the line. Finally, design examples for a wide-band 90° differential phase shifter and a high-pass small-ripple directional coupler using CTTL are given and their physical realization is considered.

1. 緒 論

結合不均一線路는 過去 오래동안 연구되어 왔으며 마이크로웨이브 回路素子로서 例컨대 역파기, 方向性結合器, 位相推移器, 遲延補償器등으로 널리 사용되고 있다. 그 大部分은 주어진 주파수범위에서 所要의 特性을 얻기 위하여 多區間의 結合不均一線路를 사용했다. 이런 構造는 隣接區間사이의 不連續과 비교적 諸元이 크다는 不利點을 가지고 있다.

近年에 結合不均一線路(CNUTL: coupled nonuniform transmission line)의 理論이 發義되었고[8], 그것이 結合指數線路에 適用되었다. 그 結果는 結合係

數을 線路에 沿하여 變化시킴으로서 多樣한 特性이 얻어질 수 있음을 示唆한다.

本論文에서는 結合三角函數線路(CTTL: coupled trigonometric transmission line)의 線路에 沿한 結合係數의 여러가지 變化에 따른 特性의 變化를 研究한 것이다. 指數線路나 其他의 여러 解析可能한 不均一線路和 달리 CTTL은 線路區間을 적당히 선택함으로써 結合係數가 線路에 沿하여 單調增加, 單調減少하도록 할 수 있을 뿐 아니라 convex, concave하게 변화시킬 수도 있으므로 더욱 多樣한 特性이 얻어질 것이 예상된다. 또 三角函數線路는 正確하게 解析할 수 있고 컴퓨터計算이 容易하다.

우선 一般的인 結合不均一線路의 理論을 綜合整理하고 그 結果를 CTTL에 適用하여 解析의 基本이 되는 4-port 傳達메이트릭스 퍼라미터를 求하였고, 이것을 使用하여 CTTL을 利用한 全域通過回路와 方向性結合

* 正會員: 韓國科學院 電氣 및 電子工學科
Member, Electrical Engineering Department,
Korea Advanced Institute of Science, (KAIS)
Seoul, Korea

接受日字: 1976年 1月 30日

器를 解析하였다. 즉 線路에 沿한 結合係數의 여러가지 變化에 따라서 全域通過回路의 位相特性和 方向性 結合電壓의 크기의 變化를 상세하게 연구하였다. 後 以 來 CTTL를 사용한 廣帶域 90°差動位相推移器와 高域 通過方向性結合器의 設計例를 들고 그 實現方法을 考 察하였다.

2. 結合不均一線路의 理論

本章에서는 文獻4, 5, 8, 10, 11等을 參考하여 一般의 CNUTL의 理論을 綜合整理하고 특히 이런 線路의 應 用例로서 全域通過回路와 方向性結合器의 傳達特性을 구하는데 필요한 關係式들을 導入한다.

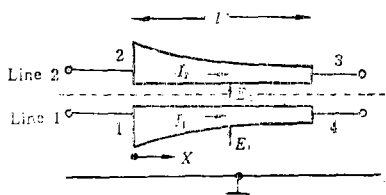


그림 1. 結合不均一線路

그림1과 같이 共通接地歸路를 가지고 傳播方向에 따 라 서로 對稱構造를 갖는 無損失 CNUTL을 생각한자 두 線路의 入力端부터의 거리 x에서의 전압, 전류에 關하여 다음과 같은 微分方程式이 成立한다.

$$\left. \begin{aligned} \frac{dE_1}{dx} + L(x) \frac{dI_1}{dt} + M(x) \frac{dI_2}{dt} &= 0 \\ \frac{dI_1}{dx} + C(x) \frac{dE_1}{dt} - C_m(x) \frac{dE_2}{dt} &= 0 \\ \frac{dE_2}{dx} + L(x) \frac{dI_2}{dt} + M(x) \frac{dI_1}{dt} &= 0 \\ \frac{dI_2}{dx} + C(x) \frac{dE_2}{dt} - C_m(x) \frac{dE_1}{dt} &= 0 \end{aligned} \right\} (1)$$

여기서 $L(x), C(x); M(x), C_m(x)$ 는 線路의 單位長 當 自己인덕턴스, 自己커패시턴스; 線路間의 相互인 дук턴스, 相互커패시턴스이다. CNUTL의 解析은 實際 的 二 電류, 二 電압을 그들의 加減으로 定義되는 다음과 같은 偶數모우드(even-mode) 奇數모우드(odd-mode)의 電류, 電압으로 分離하여 高찰하면 매우 簡單 해진다.

$$\left. \begin{aligned} \text{偶數모우드 전압 } v_e &= E_1 + E_2 \\ \text{偶數모우드 전압 } v_o &= E_1 - E_2 \\ \text{同奇모우드 전數 } i_e &= I_1 + I_2 \\ \text{奇數모우드 전압 } i_o &= I_1 - I_2 \end{aligned} \right\} (2)$$

式(1)의 加減으로 부터

$$\left. \begin{aligned} \frac{dv_o}{dx} + [L(x) + M(x)] \frac{di_o}{dt} &= 0 \\ \frac{di_o}{dx} + [C(x) - C_m(x)] \frac{dv_o}{dt} &= 0 \end{aligned} \right\} (3)$$

$$\left. \begin{aligned} \frac{dv_o}{dx} + [L(x) - M(x)] \frac{di_o}{dt} &= 0 \\ \frac{di_o}{dx} + [C(x) + C_m(x)] \frac{dv_o}{dt} &= 0 \end{aligned} \right\} (4)$$

式(3), (4)는 각각 非結合 單一線路에 대한 方程式과 同一形式을 가지므로 同一方法으로 解析할 수 있다.

우선 各 모우드에 대한 特性인피던스를 다음과 같 이 定義하고

$$\left. \begin{aligned} Z_{oe}(x) &= \sqrt{[L(x) + M(x)] / [C(x) - C_m(x)]} \\ Z_{oo}(x) &= \sqrt{[L(x) - M(x)] / [C(x) + C_m(x)]} \end{aligned} \right\} (5)$$

또 傳播定數를 다음과 같이 定義한다.

$$\left. \begin{aligned} \beta_e(x) &= \omega \sqrt{[L(x) + M(x)] [C(x) - C_m(x)]} \\ \beta_o(x) &= \omega \sqrt{[L(x) - M(x)] [C(x) + C_m(x)]} \end{aligned} \right\} (6)$$

媒質이 均一할 때에는 다음 關係가 成立하며 [10]

$$\frac{M(x)}{L(x)} = \frac{C_m(x)}{C(x)} \quad (7)$$

이 경우 二 mode의 傳播定數는 同一하고 거리에 무관 하게 된다. 따라서 該 共通傳播定數를 β 라 하면 正弦 波 定常狀態에서 式(3)은 다음과 같이 쓸 수 있다.

$$\left. \begin{aligned} \frac{dV_e}{dx} + j\beta Z_{oe}(x) I_e &= 0 \\ \frac{dI_e}{dx} + j \frac{\beta}{Z_{oe}(x)} V_e &= 0 \end{aligned} \right\} (8)$$

여기서 V_e, I_e 는 phasor이고, 이 두 式에서 I_e 를 消去하면

$$\frac{d^2 V_e}{dx^2} - \frac{Z_{oe}(x)'}{Z_{oe}(x)} \frac{dV_e}{dx} + \beta^2 V_e = 0 \quad (9)$$

이것은 非結合 單一 NUTL에 대한 것과 同一形式을 가진다. 式(9)에서 서로 獨立인 解를 $f(x), g(x)$ 라 하면 一般解는

$$\left. \begin{aligned} V_e(x) &= K_1 f(x) + K_2 g(x) \\ I_e(x) &= -\frac{1}{j\beta Z_{oe}(x)} [K_1 f'(x) + K_2 g'(x)] \end{aligned} \right\} (10)$$

여기서 K_1, K_2 는 境界條件으로 부터 決定되고 '은 x에 대한 微分을 나타낸다.

지금 偶數모우드에 대한 傳達matrix을 다음 式에 의 하여 定義하자.

$$\begin{pmatrix} V_e(o) \\ I_e(o) \end{pmatrix} = \begin{pmatrix} A_e & B_e \\ C_e & D_e \end{pmatrix} \begin{pmatrix} V_e(l) \\ I_e(l) \end{pmatrix} \quad (11)$$

여기서 l은 線路의 길이이다. 여기에 式(10)을 代入하여 K_1, K_2 를 決定하면

$$\begin{pmatrix} A_e & B_e \\ C_e & D_e \end{pmatrix} = \frac{1}{m_4} \begin{pmatrix} m_1 & -j\beta Z_{oe}(l) m_3 \\ m_2 / j\beta Z_{oe}(o) & m_5 Z_{oe}(l) / Z_{oe}(o) \end{pmatrix} \quad (12)$$

여기서

$$\left. \begin{aligned} m_1 &= f'(l)g(o) - g'(l)f(o) \\ m_2 &= f'(o)g'(l) - g'(o)f'(l) \\ m_3 &= f(o)g(l) - g(o)f(l) \\ m_4 &= f'(l)g(l) - g'(l)f(l) \\ m_5 &= f'(o)g(o) - g'(o)f(l) \end{aligned} \right\} (13)$$

奇數모우드에 대한 傳達 parameter도 전혀 同一한 型式으로 구해진다.

그림1의 회로를 4-port로 看做할 때의 實際의 電압, 電류는 각 모우드에 대한 것을 加減하여 求해지므로 4-port의 傳達 parameter는 각 모우드의 傳達 parameter로서 表示할 수 있을 것이다. 그 結果는[9]

$$\begin{pmatrix} V_1 \\ V_2 \\ I_1 \\ I_2 \end{pmatrix} = \frac{1}{2} \begin{pmatrix} A_e + A_o & A_e - A_o & B_e + B_o & B_e - B_o \\ A_e - A_o & A_e + A_o & B_e - B_o & B_e + B_o \\ C_e + C_o & C_e - C_o & D_e + D_o & D_e - D_o \\ C_e - C_o & C_e + C_o & D_e - D_o & D_e + D_o \end{pmatrix} \begin{pmatrix} V_3 \\ V_4 \\ I_3 \\ I_4 \end{pmatrix} \quad (14)$$

여기서 $V_j, I_j(j=1, 2, 3, 4)$ 는 각 port의 電壓, 電류이고 이것으로부터 여러가지 終端條件下의 回路函數를 求할 수 있다.

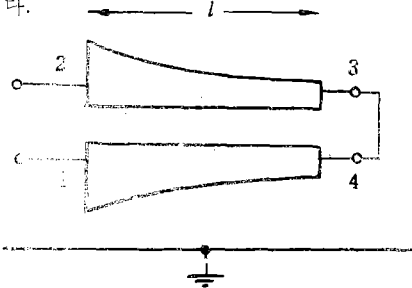


그림 2. CNU TL을 이용한 全域通過回路

CNU TL의 各種 用途中 가장 흥미 있는 것은 全域通過回路(all-pass network)와 方向性結合器(directional coupler)이다. 그림1에서 port 3, 4를 短絡한 그림2와 같은 2-port는 全域通過의 特性을 가지며, UHF, 마이크로웨이브 領域에서의 位相等化器, 位相推移器로서 有用하다. 이 회로는 對稱 2-port이므로 入出力 port에서의 映像임피던스는 同一할 것이다. 이것으로 각 port를 終端한 경우 兩 port間의 電壓 또는 電류의 位相推移 ϕ 는 다음과 같이 表示됨을 증명할 수 있다[8].

$$\phi = 2 \tan^{-1} \frac{C_e}{jA_e} \quad (15)$$

단, 이것은 線路에 沿해서

$$Z_{oe}(x) Z_{oo}(x) = -1 = Z_o^2 \quad (16)$$

이라는 條件이 成立함이 必要하다. 今後의 모든 論議에서는 式(7)과 式(16)을 假定한다.

한편 두 線路間의 結合程度를 나타내기 위하여 다음과 같이 定義되는 結合度 $K(x)$ 를 導入한다.

$$K(x) \equiv \frac{M(x)}{L(x)} = \frac{C_m(x)}{C(x)}, \quad 0 \leq K(x) \leq 1 \quad (17)$$

그러면 두가지 特性 임피던스의 比 $\rho(x)$ 는

$$\rho(x) \equiv \frac{Z_{oe}(x)}{Z_{oo}(x)} = \frac{1-K(x)}{1+K(x)} \geq 1 \quad (18)$$

다음에 그림3과 같이 각 port를 저항 Z_o 로서 終端하

고 port 1에 電壓電源을 印加하면

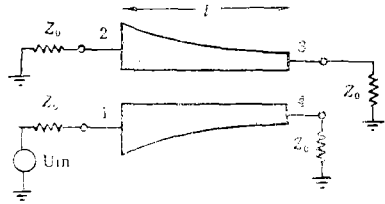


그림 3. CNU TL을 이용한 方向性結合器

$$\begin{aligned} V_1 &= V_3 = 0 \\ V_2 &= V_{in} \frac{A_e + B_e - C_e - D_e}{A_e + B_e + C_e + D_e} \\ V_4 &= V_{in} \frac{2}{A_e + B_e + C_e + D_e} \end{aligned} \quad (19)$$

와 같이 됨을 증명할 수 있다[8]. 즉 이 4-port에서는 電源과 對角線 方向에 있는 port에는 信號가 나타나지 않고 다른 두 port에는 信號가 나타나므로 方向性結合器로서 動作한다.

3. 結合三角 函數線路의 4-Port Parameter

前章의 諸結果는 式(7), (16)이 成立하는 限 如何한 CNU TL에도 適用된다. Yamamoto[9]는 特性임피던스가 거리에 따라 指數函數的으로 變하는 경우에 대하여 상세히 연구하였다. 그러나 特性임피던스가 三角函數的으로 變하는 경우에는 區間을 定하기에 따라서 單調增加, 單調減少 뿐만 아니라 中間에서 變曲點이나 極點을 가질 수 있으므로 더욱 多樣한 特性을 가지게 되리라는 것이 豫想된다.

以下 前章의 結果를 利用하여 結合三角函數線路의 4-port 傳達 parameter를 求한다. 偶數모우드, 奇數모우드의 特性 임피던스가

$$\begin{aligned} Z_{oe}(x) &= Z_{oe} \csc^2 \mu x \\ Z_{oo}(x) &= Z_{oo} \sin^2 \mu x \end{aligned} \quad (20)$$

와 같이 變하는 CNU TL을 생각하자. 여기서 μ 는 定數이고 Z_{oe}, Z_{oo} 는 $\mu x = \pi/2$ 에서의 特性 임피던스의 값이며, 다음 條件을 만족한다. 式(16)].

$$Z_{oe} \cdot Z_{oo} = 1 \quad (21)$$

今後 特性임피던스는 이와같이 Z_o 에 關하여 正規化된 것으로 假定한다. 위의 CNU TL에 關한 微分方程式은 式(20)을 式(9)에 代入하여

$$\frac{d^2 V_e}{dx^2} + 2\mu \cos \mu x \frac{dV_e}{dx} + \beta^2 V_e = 0 \quad (22)$$

이 式은 變數變換

$$y = V_e(x) \csc \mu x$$

을 適用하면

$$\frac{d^2 y}{dx^2} + b^2 y = 0 \quad (23)$$

여기서

$$b^2 = \mu^2 + \beta^2 \quad (23)$$

따라서 式(23)의 一般解는

$$V_e(x) = K_1 \frac{\cos bx}{\sin \mu x} + K_2 \frac{\sin bx}{\sin \mu x} \quad (25)$$

이것을 式(8)의 첫째 式에 代入하면

$$I_e(x) = -\frac{1}{j\beta Z_{oe}(x)} \left\{ K_1 \frac{(-b \sin bx \sin \mu x + \mu \cos bx \cos \mu x)}{\sin^2 \mu x} + K_2 \frac{(b \cos bx \sin \mu x - \mu \sin bx \cos \mu x)}{\sin^2 \mu x} \right\} \quad (26)$$

式(25), (26), (13)들로부터 $Z_{oe}(x) = Z_{oo} \csc^2 \mu x$ 의 경우에 대한 係數모우드 傳達 係數는 다음과 같이 算出된다.

$$\left. \begin{aligned} A_e &= \frac{1}{b \sin \mu x_1} [b \sin \mu x_2 \cos b(x_2 - x_1) - \mu \cos \mu x_2 \sin b(x_2 - x_1)] \\ B_e &= \frac{j \beta \sin b(x_2 - x_1) \sin \mu x_2 Z_{oe}(x_2)}{b \sin \mu x_1} \\ C_e &= j \frac{1}{\beta b Z_{oe}(x_1) \sin^2 \mu x_1} [\mu^2 \sin b(x_2 - x_1) \cos \mu(x_2 - x_1) + \beta^2 \sin \mu x_1 \sin \mu x_2 \sin b(x_2 - x_1) - b \mu \cos b(x_2 - x_1) \sin \mu(x_2 - x_1)] \\ D_e &= \frac{1}{b \sin \mu x_2} [b \sin \mu x_1 \cos b(x_2 - x_1) + \mu \cos \mu x_1 \sin b(x_2 - x_1)] \end{aligned} \right\} \quad (27)$$

여기서 x_1, x_2 는 各各 線路의 始點, 終點에 對應한다.

A_e, D_e 는 實數, B_e, C_e 는 純虛數임을 알 수 있다.

그림4에는 $Z_{oe}/Z_{oo}=2$ 인 경우에 對하여 $Z_{oe}(x), Z_{oo}(x), \rho(x), K(x)$ 등의 $\theta = \mu x$ 에 따른 變化를 그렸다.

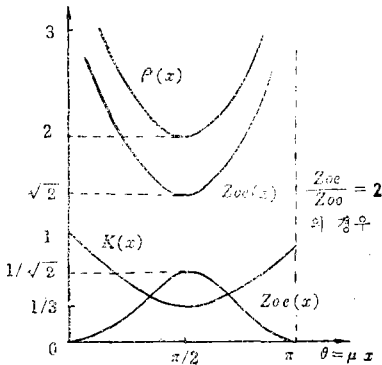
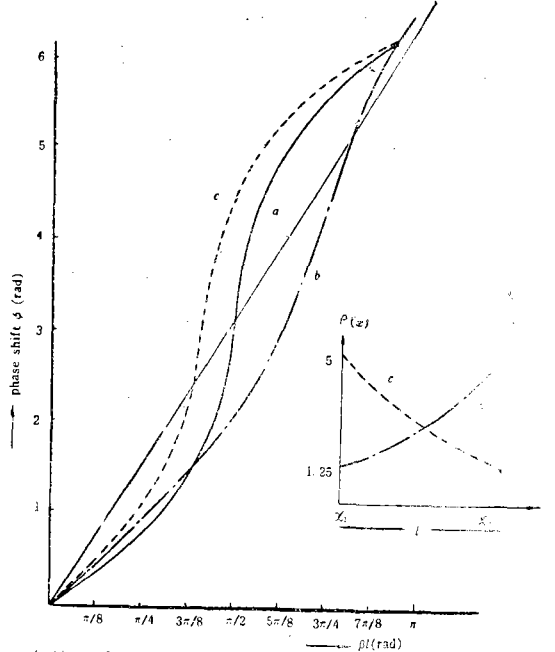


그림 4. $Z_{oe}(x) = Z_{oo} \csc^2 \mu x$ 인 CNUTL의 $\theta = \mu x$ 에 따른 $Z_{oe}(x), Z_{oo}(x), \rho(x), K(x)$ 의 變化

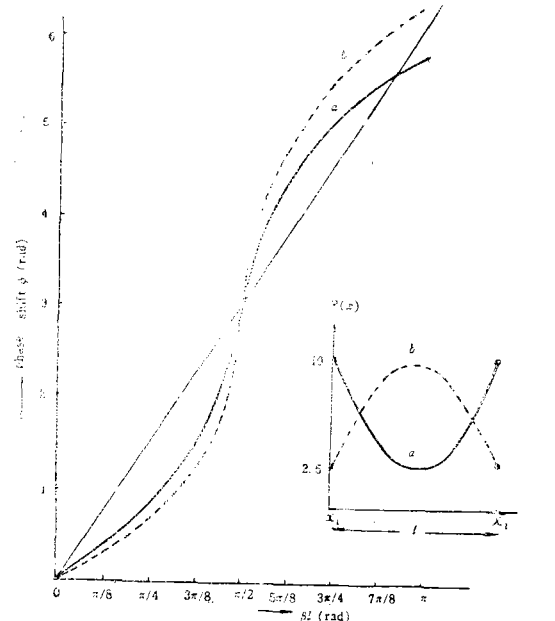
以上은 $Z_{oe}(x) = Z_{oo} \csc^2 \mu x, Z_{oo}(x) = Z_{oo} \sin^2 \mu x$ 와 같은 線路에 對한 것이었으나, $Z_{oe}(x) = Z_{oo} \sin^2 \mu x, Z_{oo}(x) = Z_{oo} \csc^2 \mu x$ 의 線路에 對해서도 全혀 같은 方法으로 解析할 수 있다.

4. 結合三角函數線路를 利用한 全域通過回路

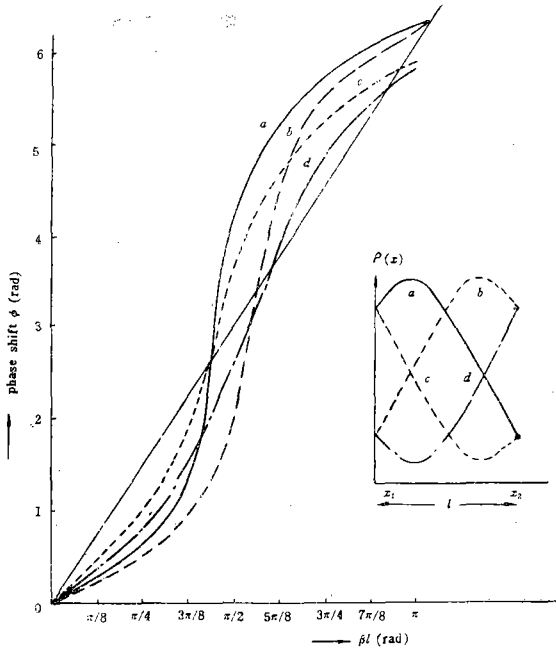
式(27)을 式(15)에 代入하면 그림2와 같은 構造를 갖는 CTTL의 全域通過回路의 位相特性을 求할 수 있



(a) 곡선 a: 結合均一線路
 곡선 b: $Z_{oe}(x) = Z_{oo} \csc^2 \mu x, \theta_1 = \mu x_1 = 45^\circ, \theta_2 = \mu x_2 = 90^\circ$
 곡선 c: $Z_{oe}(x) = Z_{oo} \csc^2 \mu x, \theta_1 = \mu x_1 = 90^\circ, \theta_2 = \mu x_2 = 135^\circ$



(b) 곡선 a: $Z_{oe}(x) = Z_{oo} \csc^2 \mu x, \theta_1 = 45^\circ, \theta_2 = 135^\circ$
 곡선 b: $Z_{oe}(x) = Z_{oo} \sin^2 \mu x, \theta_1 = 45^\circ, \theta_2 = 135^\circ$



- (c) 곡선 a : $Z_{oe}(x) = Z_{oe} \sin^2 \mu x$, $\theta_1 = 60^\circ$, $\theta_2 = 135^\circ$
- 곡선 b : $Z_{oe}(x) = Z_{oe} \sin^2 \mu x$, $\theta_1 = 45^\circ$, $\theta_2 = 120^\circ$
- 곡선 c : $Z_{oe}(x) = Z_{oe} \csc^2 \mu x$, $\theta_1 = 45^\circ$, $\theta_2 = 120^\circ$
- 곡선 d : $Z_{oe}(x) = Z_{oe} \csc^2 \mu x$, $\theta_1 = 60^\circ$, $\theta_2 = 135^\circ$

그림 5. CTTL을 이용한 全通過回路的 位相推移特性

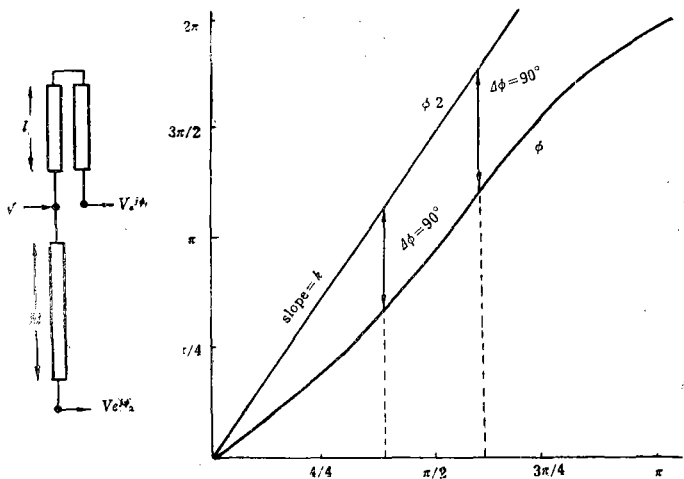


그림 6. 90° 差動位相推移器 構造와 原理

다. 그림5는 線路의 始點 $\theta_1 = \mu x_1$, 終點 $\theta_2 = \mu x_2$ 및 $\rho(x_1)$ 을 여러가지로 바꾸어 가면서 位相特性을 컴퓨터로 계산하여 그린 것이다. 豫想한 바와 같이 多樣한 變化를 얻을 수 있으므로 目的에 맞는 適當한 것을 選擇하면 된다.

특히 廣帶域 90° 差動位相推移器로서 Schiffman[6]은 그림6과 같이 單純한 均一線路와 結合均一線路를 연결한 구조를 提案하였는데, 萬一 結合均一線路 대신 그림 5(a)의 曲線b와 같이 位相特性이 넓은 周波數範圍에서 거의 直線의 으로 變하는 CTTL을 使用하면 더 廣帶域90° 差動位相推移器가 얻어질 것이다.

設計例 500MHz 以上에서 動作하는 可及의 廣帶域의 90° 位相推移器를 설계하라.

그림 5(a)의 曲線b와 原點을 지나는 기울기 k인 直線과의 位相差 Δϕ가 가급적 넓은 주파수범위에서 90°에 가깝게 되도록 k를 선정하면 $k=2.9$. 이때의 Δϕ의

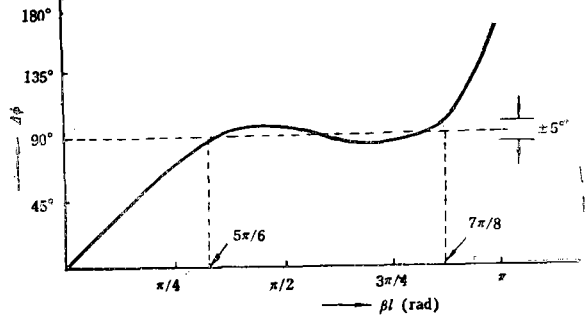


그림 7. CTTL를 利用한 90° 差動位相推移器의 周波數特性

주파수 特性을 그림7에 그렸다.

여기서 보다 시피 $\beta l = 5\pi/16 \sim 7\pi/8$ 즉 2.8 : 1의 주파수 범위에서 $\Delta\phi = 90^\circ \pm 5^\circ$ 가 된다. (Shiffman의 경우는 2.34 : 1의 주파수 범위에서 $90^\circ \pm 4.8^\circ$ 가 된다)

다음에 CTTL의 길이는 $\beta l = 5\pi/6 = 2\pi \times 500 \times 10^6 \times l/3 \times 10^{10}$ 로 부터 $l=25\text{cm}$, 따라서 均一線路의 길이는 $25 \times 2.9 = 72.5\text{cm}$. 그림5(a)의 曲線b에 대해서는 $\rho(x_2) = 5$, $Z_{oe}(x) = Z_{oe} \csc^2 \mu x$, $\theta_1 = \mu x_1 = 90^\circ$, $\theta_2 = \mu x_2 = 135^\circ$. 그리고 $Z_{oe}(x)Z_{oe}(x) = Z_o^2 = 10\omega^2$, $\rho(x_2) = Z_{oc}(x_2)/Z_{oo}(x_2) = (Z_{oe}/Z_{oo}) \csc^4 \theta_2 = 5$ 로 부터 $Z_{oe} = 111.8\Omega$. 結合線路를 實現하는 方法에는 여러가지 構造가 있으나 여기서는 그림8과 같은 Coplanar 스트립線路를 사용하기로 한다. 文獻[12]를 참고로 다음과 같은 表1를 얻는다(表 $s/b = 0.3$ 으로 잡았다). t 는 $(b-s)/2$ 로서 구해진다(스트립 線路의

두께는 0라고 가정).

表 1

μx	90°	105°	115°	120°	125°	130°	135°
$Z_{oe}(x)$	111.8	120	137	150	168	190	223.6
W/b	0.95	1.10	7.3	1.5	1.75	2.0	2.5

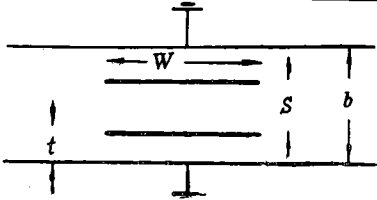


그림 8. Coplanar 스트립線路의 斷面圖

5. 結合三角函數線路를 利用한 方向性結合器

方向性結合器에서는 주로 結合電壓의 크기만이 關心의 對象이 된다. 그림3의 구조에서는 Port 2와 4에만 結合電壓이 나타나는데 無損失線路이고 同一임피던스 終端되어 있으므로 Port 4와 Port 2의 전압사이에는

$|V_4| = \sqrt{1 - |V_2|^2}$ (단 $V_{in} = 1$)의 관계가 있다. 따라서 $|V_2|$ 만의 변화를 조사하면 된다.

그림9은 여러 가지 $\theta_1 = \mu x_1, \theta_2 = \mu x_2, K(x_1)$ 의 값에 대하여 式(27)의 傳達係數의 값을 계산하여 다음 式에 代入하여 $|V_2|$ 를 계산한 결과를 그린 것이다.

$$|V_2| = \sqrt{\frac{(A_e - D_e)^2 + (B_e/j - C_e/j)^2}{(A_e + D_e)^2 + (B_e/j + C_e/j)^2}} \quad (28)$$

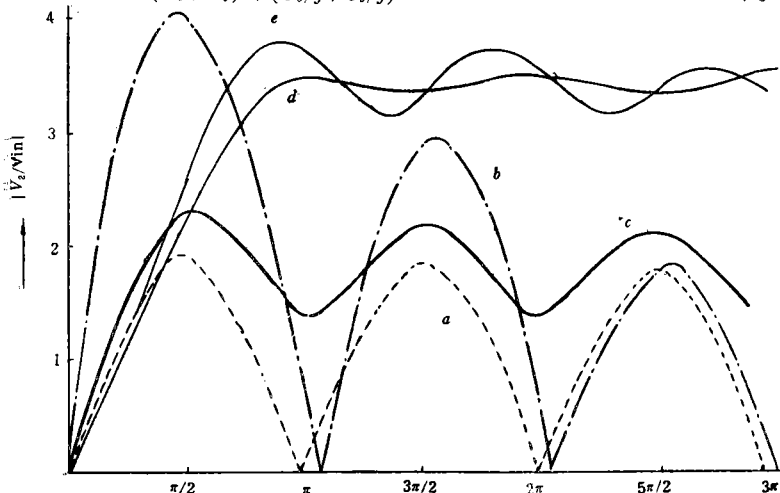


그림 9. CTTL를 利用한 方向性結合器

곡선 a : 結合均一線路의 경우

- " b : $Z_{oe}(x) = Z_{oe} \csc^2 \mu x, \theta_1 = 60^\circ, \theta_2 = 120^\circ, K(x_1) = 0.12$
- " c : $Z_{oe}(x) = Z_{oe} \csc^2 \mu x, \theta_1 = 145^\circ, \theta_2 = 150^\circ, K(x_1) = 0.09$
- " d : $Z_{oe}(x) = Z_{oe} \csc^2 \mu x, \theta_1 = 90^\circ, \theta_2 = 135^\circ, K(x_1) = 0$
- " e : $Z_{oe}(x) = Z_{oe} \csc^2 \mu x, \theta_1 = 135^\circ, \theta_2 = 150^\circ, K(x_1) = 0$

특히 $K(x_1) = 0$ 의 경우 리플이 적은 良好한 高域通過特性이 얻어지며 高周波數에서는 거의 一定한 레벨을 유지한다. 이 레벨은 式(27)에서 $b, \beta \rightarrow \infty$ 의 경우를 생각하여 式(28)에 代入함으로써 다음과 같이 求해진다

$$|V_2| \rightarrow |V_{in}| \frac{1-g^2}{1+g^2} \quad (\text{高周波數에서})$$

여기서

$$g = \frac{\sin \theta_2}{\sin \theta_1} = \sqrt{\frac{Z_{oe}(x_1)}{Z_{oe}(x_2)}} = \sin \theta_2 = \sqrt{Z_{oe}(x_2)}$$

($\because K(x_1) = 0$)

設計例 다음 條件을 만족하는 高域通過 CTTL 方向性結合器를 設計하라,

- a. 高周波利得 = 0.1 (20dB), 最小리플
- b. 3dB 遮斷周波數 = 500MHz
- c. 終端임피던스 = 100Ω

最小리플이 要求되므로 $K(x)$ 가 $K(x_1) = 0$ 에서 부터

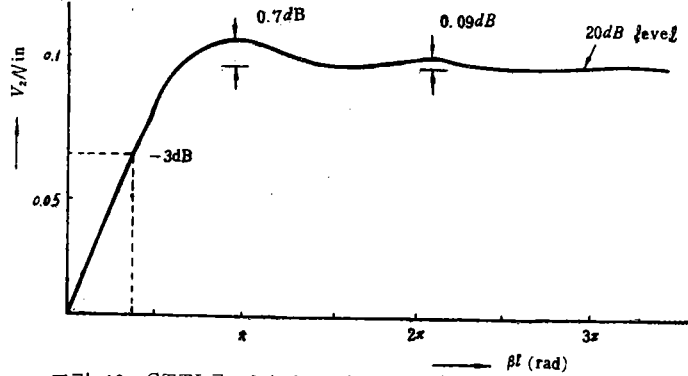


그림 10. CTTL를 利用한 20dB 方向性結合器의 周波數特性

單調增加하는 $Z_{oe}(x) = Z_{oe} \csc^2 \mu x$ 의 線路를 擇한다. 그러면 $\theta_1 = \mu x_1 = 90^\circ, Z_{oe} = Z_{oo} = 1, Z_{oe}(x_1) = 10.1 = (1-g^2)/(1+g^2)$ 으로 부터

$$g = \sin \theta_2 = 0.904 \text{ 즉 } \theta_2 = 115.2^\circ.$$

$|V_2/V_{in}|$ 을 βl 에 대하여 그려면 그림 10과 같이 되고 여기서 3dB 遮斷周波數를 구하면 $\beta l = 0.312\pi \times 2\pi \times 500 \times 10^6 \times l / (3 \times 10^8)$ 로 부터 線路의 길이 $l = 9.36\text{cm}$ 와 같이 定해진다. 이것을 실제로 실현하는 데는 $K(x_1) = 0$ 이므로 그림 10과 같은 스트릿(slit) 結合 스트립線路를 쓰는 것이 有利하다. $Z_{oe}(x) = 100 \csc^2 \mu x$ 및 文獻[9]를 參考하여 ($t/b = 0.1$ 로 잡음) 다음 表 2를 얻는다. 따라서 b를 적당히 定하면 이 스트립線路의 모든 諸元이 定해진다.

表 2

μx	90°	100°	105°	110°	115.2°
$Z_{00}(x)$	100	104	108	114	123
W/b	.08	.085	.09	.10	.12
S/b	0	.03	.05	.08	.12

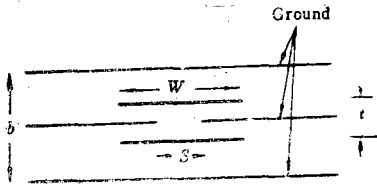


그림 슬릿 결합 스트립 선로의 斷面圖

6. 結 論

一般的인 CNUTL의 理論을 適用하여 CTTL의 性質을 조사하였다. 특히 이를 이용하여 全域通過回路的 位相特性和 方向性結合器의 結合電壓의 크기의 周波數 特性을 상세히 연구하였다.

이 兩者에 있어서 CTTL가 對稱結合인 경우는 均一 結合의 경우와 多少 비슷한 特性을 나타내지만 非對稱인 경우에는 매우 다르고 多樣한 特性을 나타낸다.

全域通過回路的 位相曲線은 單調減少(增加)結合에 대해서는 左側(右側)으로 이동하는 경향을 가진다. 이 때 彎曲點의 位置는 線路區間을 잡는데 따라 달라지지만 全體의인 結合度의 大小에는 큰 관계가 없다. 全體의 으로 結合度가 증가하면 位相曲線의 最大 기울기는 증가한다*.

非對稱結合은 CTTL 方向性結合器에 高域通過特性을 준다. 高周波數에서의 結合電壓의 漸近値는 線路兩 端에서의 結合度에 관계된다. 또 線路의 어느 한 끝에서 結合度가 0일때 리플은 最小가 되며 전체적으로 結合度가 적을 수록 通過帶域에서의 리플이 적어진다.

최후로 CTTL를 이용하여 廣帶域 90° 差動位相推移 器와 高域通過特性을 갖는 方向性結合器를 設計하는 例를 들었다. 이것은 最適設計가 아니다. 만일 이 결과를 初期値로 하여 反復的方法으로 最適設計를 한다면 더욱 良好한 結果가 얻어질 것이고 또 實驗의 으로 本 理論을 뒷받침하여 보는 것도 將次의 課題에 속한다.

* 이 두 節의 結論은 紙面關係로 다 掲載하지 못한 더 많은 特性曲線들로부터 얻어진 것이다.

參 考 文 獻

1. H. Kaufman, "Bibliography of nonuniform

transmission lines," IRE Trans. on Antennas and Propagation, Vol. AP-3, pp.218-220, October 1955.

2. F. Arndt, "High-pass transmission-line directional coupler," IEEE Trans. on Microwave Theory and Techniques, MTT-16, pp.310-311, 1968.

3. S.B. Cohn, "Characteristic impedances of broadside coupled strip transmission lines," IRE Trans. on Microwave Theory and Techniques, MTT-8, pp.633-637, 1960.

4. E.M.T. Jones and J.T. Bolljahn, "Coupled-strip-transmission-line-filters and directional couplers," IRE Trans. on Microwave Theory and Techniques, MTT-4(2), pp.75-81, 1956.

5. J. Reed and G.J. Wheeler, "A method of analysis of symmetrical four-port networks," IRE Trans. on Microwave Theory and Techniques MTT-4(4), pp.246-252, 1956.

6. B.M. Schiffman, "A new class of broad-band, microwave 90-degree phase shifters," IRE Trans. on Microwave Theory and Techniques, MTT-6, pp.232-237, 1958.

7. K.L.Su, "Analysis of the trigonometric RC lines and some applications," IEEE Trans. on Circuit Theory, CT-11, pp.158-160, 1964.

8. S. Yamamoto, T. Azakami and K. Itakura, "Copled nonuniform transmission line and its applications," IEEE Trans. on Microwave Theory and Techniques, MTT-15, pp.220-231, 1967.

9. S. Yamamoto, T. Azakami and K. Itakura, "Slit-coupled strip transmission lines," IEEE Trans. on Microwave Theory and Techniques, MTT-14, pp.592-552, 1966.

10. B.M. Oliver, "Directional electromagnetic 1couplers," Proc. of IRE, Vol.42, pp.1686-1692, 1954.

11. S.C. Dutta Ray, "Matrix parameters of nonuniform transmission lines," IEEE Trans. on Circuit Theory, CT-12, pp.143-143, 1965.

2. L.A. Gunderson and A. Guida, "Stripline coupler design," Microwave Journal Vol.8, pp.97-101, 1965.